Краевая научно-практическая конференция учебноисследовательских и проектных работ учащихся 6-11 классов «Прикладные и фундаментальные вопросы математики»

Математическое моделирование

Математическое моделирование движения фигуриста по дуге

Ларионова Анна Алексеевна, Тихонова Александра Алексеевна, 11 кл., МБОУ «Лицей №1» г. Перми,

> Шабрыкина Наталья Сергеевна, к.ф.-м.н., доцент ПНИПУ

Оглавление

Введение	3
Концептуальная постановка задачи	
Математическая постановка задачи	6
Результаты исследования	9
Заключение	15
Приложение	16
Summery	Ошибка! Закладка не определена.
Список литературы	17

Введение

Один из самых красивых и сложных видов спорта - это фигурное катание. Это совершенное явление, стоящее на грани спорта и искусства. Занятия фигурным катанием развивают грацию, пластичность, способствуют формированию красивой фигуры, но главное весь комплекс упражнений направлен на укрепление здоровья. Можно смело утверждать, что фигурное катание — это составная часть спорта, в основе которой лежат систематические тренировки и участие в соревнованиях с целью достижения спортсменами высоких показателей.

Начальный период обучения этому виду спорта представляет собой нелегкий процесс. Современное направление развития фигурного катания на коньках характеризуется выраженной тенденцией к сочетанию основных компонентов катания, сбалансированности содержания программы. Перед спортсменами ставится задача продемонстрировать владение всеми группами элементов — шагами, спиралями, вращениями, прыжками. В преодолении этих трудностей может существенно помощь математическая модель, позволяющая подбирать различные параметры для более успешного выполнения элементов фигурного катания с учетом индивидуальных параметров фигуристов.

В работе будет рассмотрено движение фигуриста по дуге. Движение по дуге – основной элемент фигурного катания, с него начинается обучение фигурному катанию. Данный элемент позволяет фигуристу развить скорость, необходимую для выполнения других элементов, более сложных в своем выполнении. При движении по дуге фигурист стоит на одной ноге, а лезвие конька соприкасается со льдом одним ребром. Фигурист движется не вертикально, а под некоторым углом к горизонту, из-за чего траектория его движения криволинейная, а не прямая.

Созданию математической модели движения по дуге посвящена данная работа. Такая модель поможет фигуристам выполнять простые и сложные элементы фигурного катания, а начинающим фигуристам освоиться в фигурном катании.

Концептуальная постановка задачи

В данной работе будет рассматриваться фигурист, который совершает движение по дуге на одной ноге. Целью работы является построение модели процесса движения по дуге, которая характеризуется физическим параметром - радиусом кривизны.

При построении модели были приняты следующие допущения:

- Фигурист рассматривается как движущаяся материальная точка.
- Сила трения постоянная и направлена против движения конька фигуриста.
- Коэффициент силы трения конька фигуриста об лед остается постоянным, т.к. скорость фигуриста небольшая.
- Сила сопротивления воздуха на фигуриста не учитывается, т.к пренебрежимо мала при скоростях, развиваемых фигуристом.
- Фигурист движется в поле тяжести земли.
- Будем считать, что голень и конек лежат на одной прямой. Данная прямая наклонена под некоторым углом ко льду.

Математическая постановка задачи

Будет рассмотрена материальная точка, которая движется по траектории с некоторым радиусом кривизны. При этом на материальную точку действуют следующие силы: сила реакции опоры, сила трения, сила тяжести (рис. 1). На рис.1 оси координат введены следующим образом: x – касательная к траектории движения конька, y – нормаль, z – перпендикулярна плоскости хОу (поверхности льда). Реакция опоры направлена вдоль прямой, на которой лежат конек и голень фигуриста. Угол α – между вертикалью и силой реакции опоры, угол β - между осью α и проекцией реакции опоры на плоскость хОу.

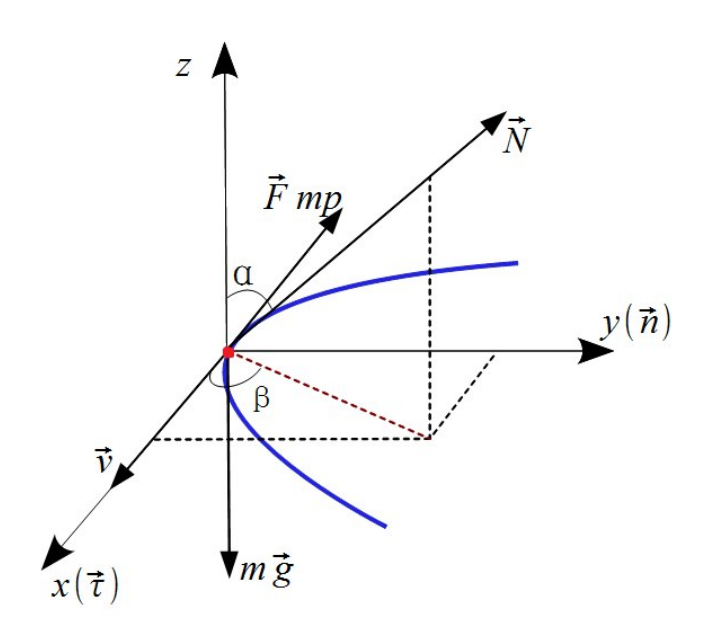


Рис.1. Силы, действующие на фигуриста при движении по дуге

С учетом принятых допущений можно записать второй закон Ньютона:

$$\vec{ma} = \vec{F}_{\text{Tp}} + \vec{N} + \vec{mg}, \qquad (1)$$

где m - масса фигуриста, \vec{a} - вектор полного ускорения, \vec{g} - вектор ускорения свободного падения, \vec{N} - вектор реакции опоры, $\vec{F}_{\text{тр}}$ - вектор силы трения. Сила трения равна $\mu \times \vec{N}$, где μ - коэффицент трения.

Зная, что полное ускорение раскладывается на нормальное и тангенциальное составляющие, можно спроецировать ур. (1) на оси координат:

$$ma_{\tau} = N\sin\alpha\cos\beta - \mu N, \tag{2}$$

$$mg = N\cos\alpha, \tag{4}$$

где a_{τ} - тангенцильное ускорение, a_n - нормальное ускорение,

$$a_{\tau} = \frac{dv}{dt}, a_{n} = \frac{v^{2}}{R}$$

При подстановке силы реакции опоры из ур. (4) в ур. (2) и (3), получаются следующие уравнения:

$$\frac{\mathrm{d}v}{\mathrm{dt}} = \frac{\mathrm{g}(\sin\alpha\cos\beta - \mu)}{\cos\alpha},\tag{5}$$

$$\frac{v^2}{\rho} = \frac{g \sin \alpha \sin \beta}{\cos \alpha} \,. \tag{6}$$

Углы $^{\alpha}$ и $^{\beta}$ зависят от времени по некоторым законам. Будем считать, что они зависят линейно и их можно определить по следующим формулам:

$$a(t) = \frac{\alpha_{\delta} - \alpha_{0}}{t_{\delta}} t + \alpha_{0} \tag{7}$$

$$\beta(t) = \frac{\beta_{\delta} - \beta_0}{t_{\delta}} t + \beta_0 \tag{8}$$

где α_0 и β_0 - начальные уголы, α_δ и β_δ - конечные уголы, при которых заканчивается движение по дуге, t_δ - конечное время, при котором заканчивается движение по дуге.

Ур. (5) является дифференциальным относительно скорости, для того чтобы его решить нужно начальное условие:

$$v(0) = v_0 \tag{9}$$

Решив ур. (5) с помощью ур. (6) можно найти радиус кривизны траектории выражающийся по формуле:

$$\rho = \frac{v^2 \cos \alpha}{g \sin \alpha \sin \beta} \,. \tag{10}$$

Результаты исследования

Зная формулу угловой скрости $\omega = \frac{v}{\rho}$, подставим в нее формулу радиуса кривизны ур. (10), и зная, что $\omega = (\varphi)$, запишем уравнение:

$$(\varphi)' = \frac{g \sin \alpha \sin \beta}{v \cos \alpha} \tag{11}$$

С помощью математического пакета Maple 14 выразим угол φ и подставим в систему уравнений для траектории движения фигуриста:

$$\begin{cases} x(t) = \frac{v^2 \cos \alpha}{g \sin \alpha \sin \beta} \cos \varphi \\ y(t) = \frac{v^2 \cos \alpha}{g \sin \alpha \sin \beta} \sin \varphi \end{cases}$$
 (12)

Все результаты приведены для параметров : $^{m=55 \text{ kr}}$, $g=9.8 \text{м/c}^2$, $\mu=0.01$, t=1.55c .

Рассмотрим результаты, полученные для процесса движения по дуге. Исследуем зависимость траектории движения фигуриста от угла наклона конька ко льду. На Рис. 2 представлены графики траектории движения фигуриста с переменным углом α и начальной скоростью $v_0 = 2 \text{m/c}$

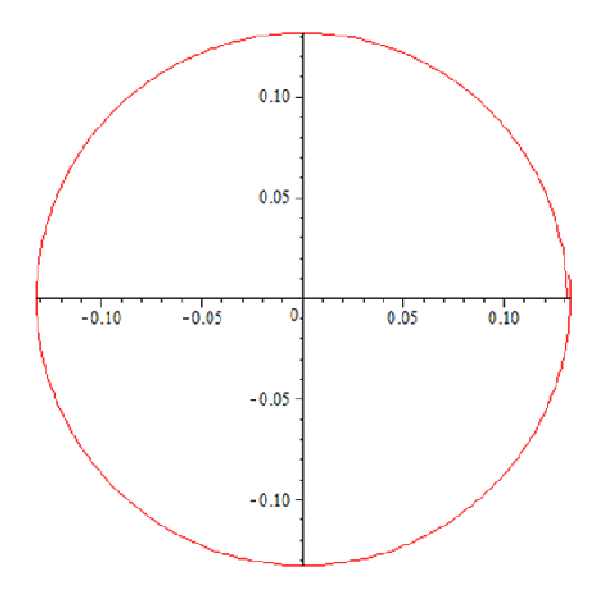


Рис. 2a. Траектория движения фигуриста. Угол α меняется от 20 до 25 градусов.

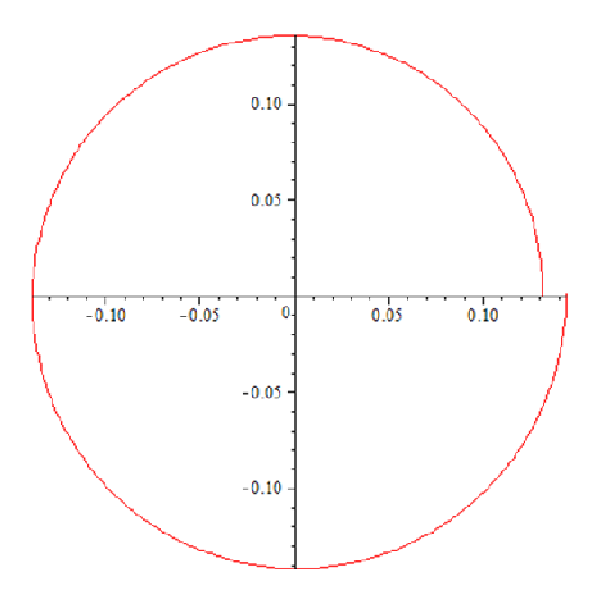


Рис. 26. Траектория движения фигуриста с углом α от 20 до 30 градусов.

По Рис. 2 видно, что если угол α будет увеличиваться, то фигурист будет двигаться так же по спирали, но ее радиус будет увеличиваться.

На Рис. 3 представлены графики траектории движения фигуриста для постоянных углов $\alpha=30^{\rm o}$ и $\beta=90^{\rm o}$. Начальная скорость на Рис. За $v_0=2{\rm m/c}$, а на Рис. Зб $v_0=3{\rm m/c}$

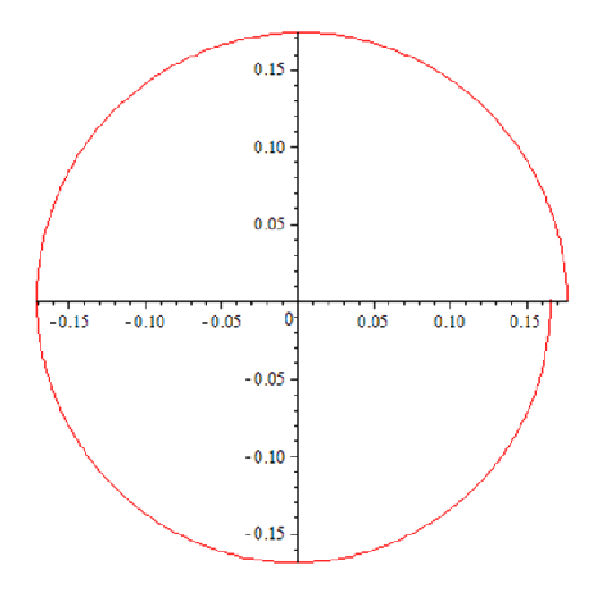


Рис. За Траектории движения фигуриста с постоянными углами.

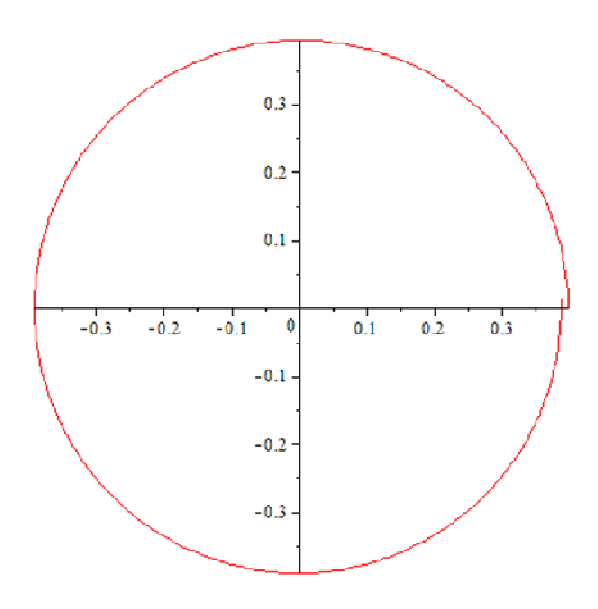


Рис. 3б Траектории движения фигуриста для постоянных углов.

По графикам можно заметить, что чем начальная скорость будет больше, тем сильнее фигуриста будет закручивать по спирали.

На Рис. 4 представлены графики траектории движения фигуриста с переменным углом $^{\beta}$ и постоянной начальной скоростью V_0 = 2m/c .

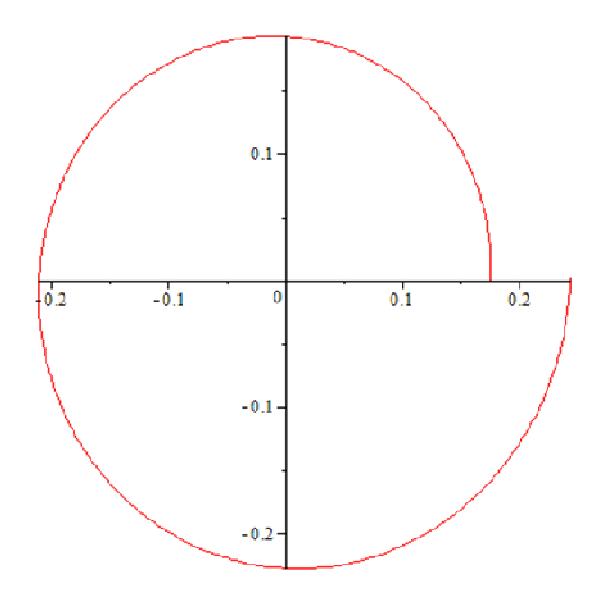


Рис. 4а Траектория движения фигуриста. Угол β меняется от 81 до 86 градусов.

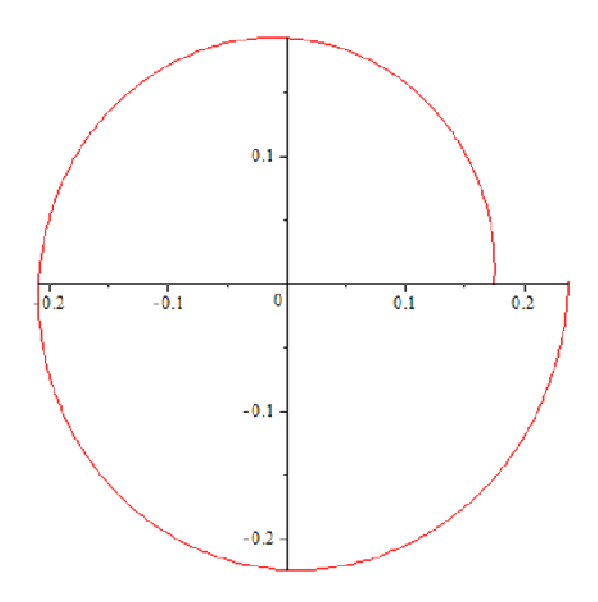


Рис. 46 Траектория движения фигуриста. Угол β меняется от 81 до 90градусов.

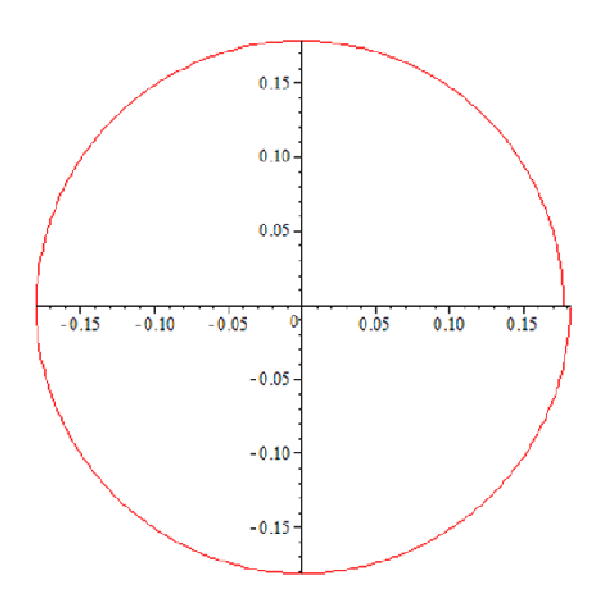


Рис. 4в Траектория движения фигуриста. Угол $oldsymbol{eta}$ меняется от 88 до 90градусов.

По Рис. 4 видно, что чем больше изменяется угол, тем фигурист больше раскручивается по спирали.

На Рис. 5 представлены графики траектории движения фигуриста для постоянных углов $\alpha = 20^{\circ}$ и $\beta = 81^{\circ}$ с постоянной скоростью $v_0 = 2 \, \text{m/c}$, но переменным коэффициентом трения.

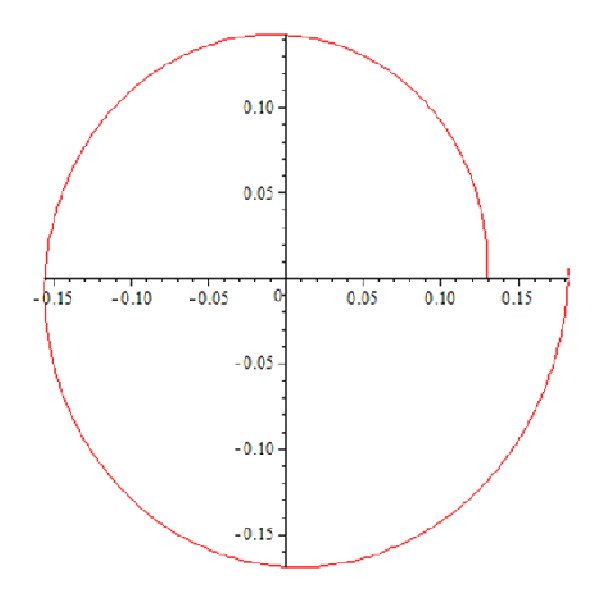


Рис. 5а Траектории движения фигуриста для постоянных углов. $\mu = 0.01$

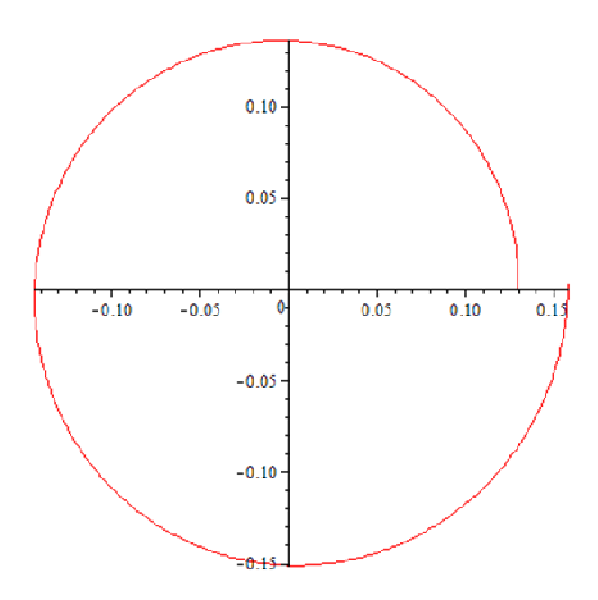


Рис.56 Траектории движения фигуриста для постоянных углов $~\mu = 0.03$

На Рис. 6 представлены графики траектории движения фигуриста для постоянных углов $\alpha = 20^{\circ}$ и $\beta = 81^{\circ}$ при постоянной скорости $v_0 = 4$, но переменным коэффициентом трения.

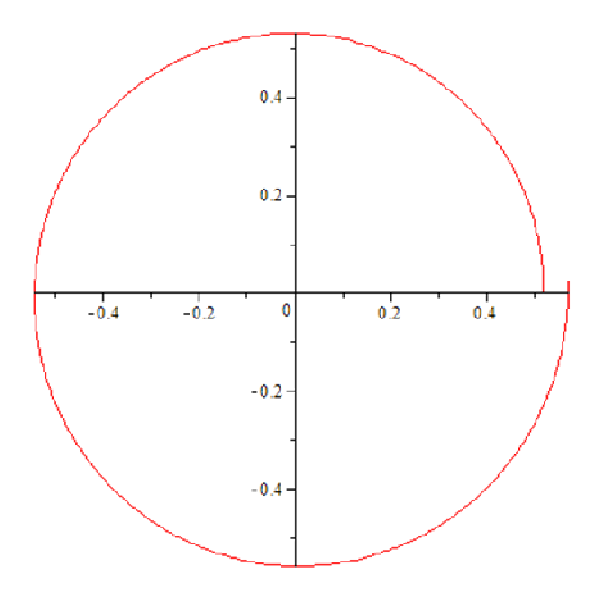


Рис. 6а Траектории движения фигуриста для постоянных углов $~\mu=0.01$

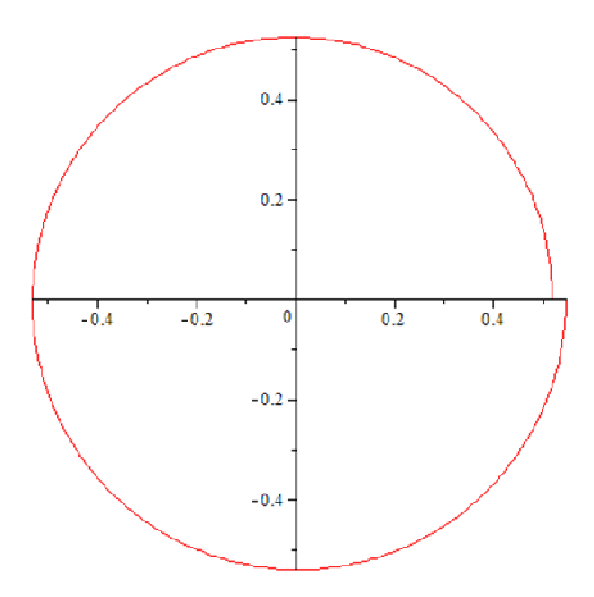


Рис. 6б Траектории движения фигуриста для постоянных углов $~\mu = 0.03$

По Рис. 5 и Рис.6 заметно, что чем меньше коэффициент трения, тем траектория фигуриста будет более пологой.

Заключение

В работе была построена математическая модель движения фигуриста по дуге. И получены зависимости угловой и линейной скорости фигуриста от времени. Была проанализирована связь данных зависимостей с начальными параметрами: угол наклона ребра конька к вертикали и угол между осью абсцисс и проекцией силы реакции опоры. Были построены графики траектории движения фигуриста для различных параметров.

Рекомендации:

- 1)Для того чтобы больше закрутиться по спирали, фигурист должен иметь как можно большую скорость, а изменение угла β должно быть как можно меньше.
- 2) Если фигурист хочет двигаться по большему радиусу, он должен увеличить угол α
- 3) Чтобы дуга, по которой движется фигурист, была более пологой, коэффициент трения должен быть как можно меньше, а скорость движения фигуриста должна увеличиваться.

Приложение

```
> restart;
      > with(plots):
      > V0:=2; m:=55; my:=0.01; k:=0.01; alpha:=Pi/6; g:=9.8; beta:=Pi/2;
alpha1:=Pi/6; alpha2:=Pi/6; beta1:=82*Pi/180; beta2:=Pi/2; tk:=1.55;
      > alpha:=((alpha2-alpha1)*t/tk)+alpha1;
      > beta:=((beta2-beta1)*t/tk)+beta1;
      > N:=m*g/cos(alpha);
      > sys:=diff(V(t),t)=g*(sin(alpha)*cos(beta)-my)/cos(alpha);
      > k:=dsolve({sys,V(0)=V0},V(t));
      > V1:=eval(V(t),k);
      > plot(V1,t=0..10);
      > R := (V1^2*\cos(alpha))/g*\sin(alpha)*\sin(beta);
      > W:=diff(phi(t),t)=(g*sin(alpha)*sin(beta))/cos(alpha)*V1;
      > 1:=dsolve(\{W,phi(0)=0\},phi(t));
      > phi1:=eval(phi(t),l);
      > plot(phi1,t=0..10);
      > x(t) := R*\cos(phi1);
      > y(t) := R * sin(phi1);
      > plot([x(t),y(t),t=0..1]);
```

Список литературы

- 1. . Фигурное катание на коньках как вид спорта. 2012. http://vladled.ru/index.php?option=com_content&view=article&id=19
 6:2010-09-29-11-09-38&catid=6:2010-09-26-07-44-55&Itemid=50
- 2. Мишин А. Н. Биомеханика движений фигуриста. М., ФиС, 1981. http://www.tulup.ru/articles/82/glava_4_biomehanicheskie_osnovy_te hniki dvizhenij figurista.html
- 3. Мишин А. Н. Фигурное катание для всех. Лениздат, 1976. http://www.fizkult-ura.ru/node/1228